

# 清泉崗基地霧之客觀預報研討

郭 兆 憲

## A Study on Practical Objective Forecast Method of Fog at CCK. AB.

Jan-Shenian Kou

### Abstract

The advection-radiation fog occurs frequently due to the topography. The low clouds always move to this base and then transform to ground fog rapidly. Ground visibility may be changed from seven (7) miles to zero very shortly. It is hazardous to the flying safety. The purpose of this report is to make a thorough understanding of the fog at CCK. and try to find the best method for fog forecasting. This study is based on the base ground data during the cold season (Dec.—Apr.) from 1971 to 1977 including fog days. The time the fog starts appearing and last, sky condition, temperature, dew point difference and frequency. Analysing the cause of fog with the similar and earlier surface weather chart and Ma-Kung skew T log P in order to find the forecasting rules and fog practical forecasting chart. therefore, We can predict the diversity of the fog occurred at CCK, by studying and evaluating this report. Thus, the exactness of forecasting also can be improved.

### 一、 前言

臺灣為一海島，水汽供應充沛，輻射冷卻作用亦甚顯著。本省在此平流與輻射之雙重影響下成霧之機會甚大。客觀預報，首重形式過程中所採用之氣象因素對物理作用之相關性。

本省之東西部地形、天候不同，南北部亦迥異，甚且一丘之隔亦大異其趣，如清泉崗基地因低雲移來變為地面霧，能見度轉為半哩或零哩時，臺中地區仍為疏雲，7哩。因之尚需努力尋求地理環境對天氣之支配情況。本基地擴建完成已近二十年，雖有不少對霧之預報作各項研討，但因本基地地形特殊，較無法作一有系統之掌握。筆者在本基地服務多年，有感於霧之預報實關係飛安甚大，爰就多年來之工作經驗心得兼以民國60-66年12-4月間之氣象測報資料為根據，分析本基地霧之客觀預報，藉以探討霧之演變因果。

### 二、 清泉崗地形特性

(1) 本基地位於  $120.36^{\circ}\text{E}$ ,  $24.16^{\circ}\text{N}$ , 海拔高度

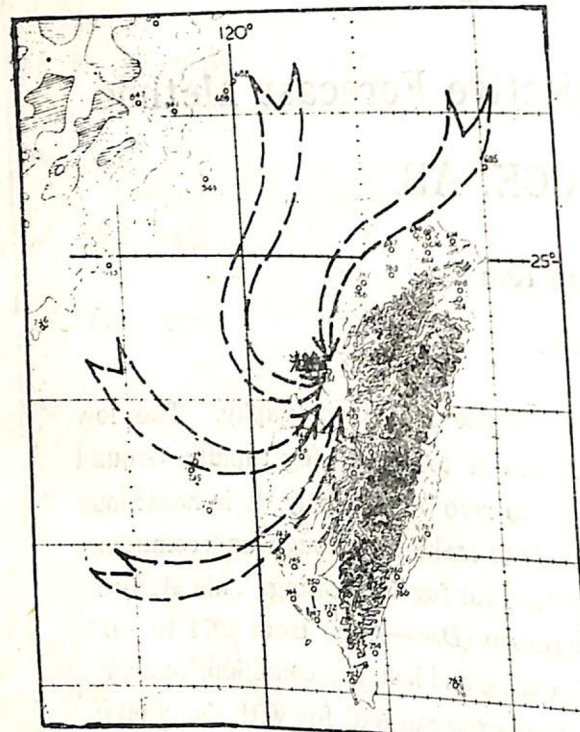
665呎，距離海峽最近處不足8哩，海陸作用顯著，且受南北氣流複合影響，因中央山脈成東北至西南走向，在本基地以南折向東南外，使本基地處於向風面之匯集處，混合凝結層經常存在，極易感受來自以南及以北之影響（附圖一）。

(2) 本基地係中央山系、臺地丘陵、臺中盆地及西部平原之衝，故有錯綜複雜之因素特性。

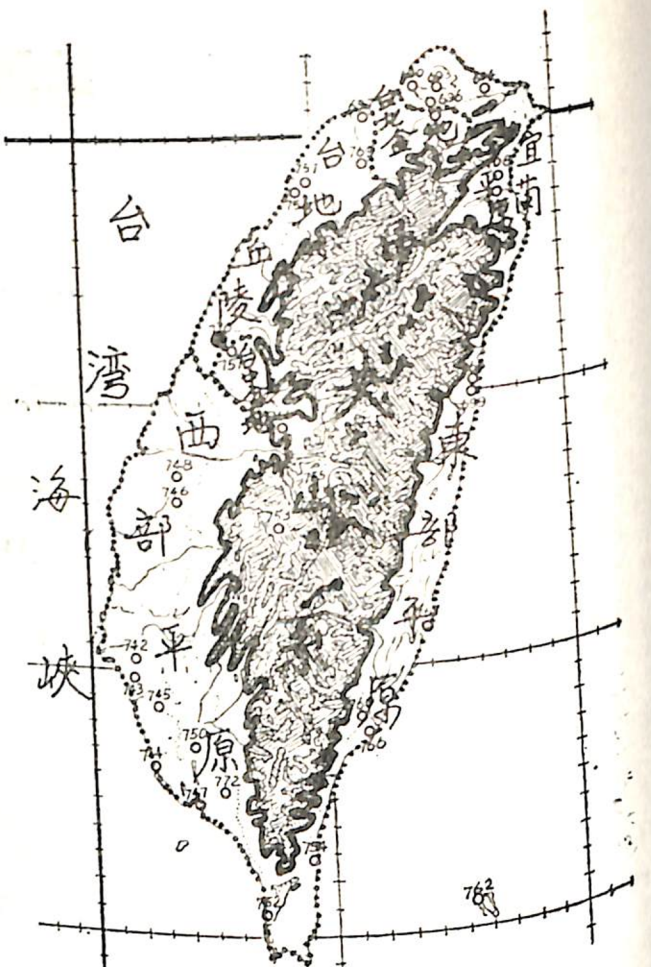
(本基地所處之地形如附圖二)

(3) 構成本基地係臺地礫層表土，屬乾燥之石礫及紅土壤，故比熱小增暖容易而散熱亦甚速，溫度之變化大（如附圖三）。又本基地面臨臺灣海峽，北毗大甲溪，南臨大肚溪，南面為一廣大之水稻田，冬春交替之際，冷暖平流互替頻繁，易輻射冷卻形成濃霧。另則本基地地勢高，位於盛行季風之向風面，因此外場600呎之雲塊，移抵至本場時已為危害飛安之要素。

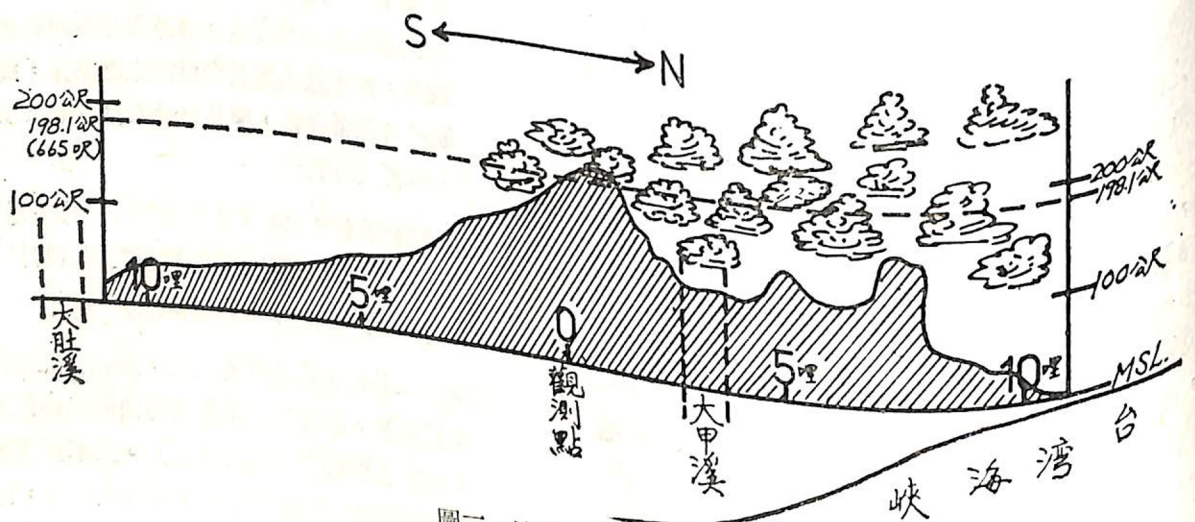
— 20 —



圖一 清泉崗正處於各向風面之匯集處。

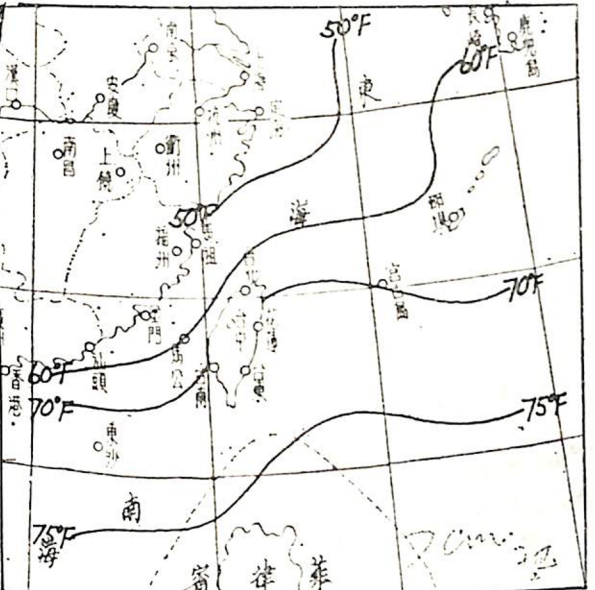


圖二 清泉崗所處之地形圖。



圖三 清泉崗基地剖面圖。

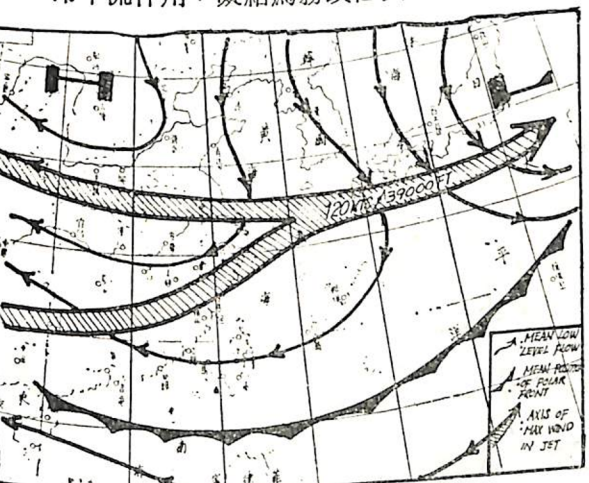
(四) 冬半年，尤以12-4月份，臺灣海峽海水之等溫線有冷舌南伸(如附圖四)，而與本省東部同緯度海水溫度有兩個月竟相差達 $10^{\circ}\text{F}$ ，顯示平流冷却作用顯着。



圖四 二月份平均海面溫度。

### 三、清泉崗基地霧之生成條件分析

(一) 如附圖五，冬末春初大陸變性氣團南伸，極鋒平均位置在巴士海峽，高空噴射氣流南移掠經華中及日本南部海面，臺灣冬半年均為cPk所籠罩，低層空氣經由日本南部海面迴流，水氣含量豐富，經由臺灣地區，由於冷平流作用，凝結為霧或低雲。



圖五 冬末春初天氣圖形勢。

(二) 依統計方式，尋求民國56年至65年十年間至四月有霧日及無霧日之分類，再由霧日做進一步之剖析，捨三哩以上之輕霧，而將三哩以下之霧日分二階段即一哩(含)以下及

一哩以上兩種，並選取兩年之資料填繪臺灣區中度範圍各測站一至四月逐日逐時之溫度、露點、風向、風速、氣壓值，進而分析冷平流、氣壓梯度之強弱與霧生成之相關性，再求天空遮蔽量，探求長波輻射與霧形成之關係性。

(三) 本基地冬半年發生霧之頻率甚大，足以危害飛行安全。今選取冬半年(12-4月)五個月份，以民國60-66年計七年之資料(資料採自基地801-c表原始記錄)，統計分析一日中能見度小於一哩之有霧時日於各月中發生之次數，七年平均而後求其生成頻率。並選取(1)持續時間(2)發生時刻(3)溫度露點差(4)風速(5)霧生成時之溫度等五項基本因子統計之並列表於後(如附表一)，欲由其相關性求取客觀預報之準則。

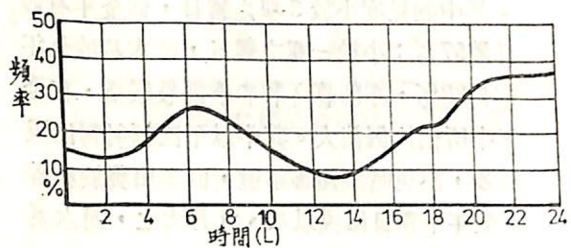
(四) 按氣候資料統計顯示，平均以12-4月份發生之霧，佔本基地全年中霧日出現頻率的68%。其中能見度小於3哩之霧日，佔全年有霧日數57%；小於一哩之霧日，佔本基地全年霧日38%，亦即暮冬和春季為最嚴重，在全年中所佔比例甚大。其中以平流輻射霧出現最多，出現時刻甚難掌握，但多出現於晨昏。全年中霧日出現以八、九月次之，而六至十一月最少。(如附表二)

(五) 由附表一所示，八、九月份之霧為溫濕之南來氣流加上地面輻射所造成。成霧之時刻多在零時以後，尤以3-7時較多，而消散時刻多在八時以前。霧之持續時間經統計維持1至3小時者，佔霧發生之總數百分之40以上。本基地起霧之時刻，往往較其他基地為早，有時為霧靈竟日籠罩，能見度最高不超過三哩，最低者為零哩且不易消散，亦為其他基地所僅見(如附表三，60年4月29-30日，61年2月17-19日)。若鋒面在臺灣北部，本基地或有毛毛雨情況時，則霧之生成可在一天中任何時刻發生，此時因雨後土壤潮濕，相對濕度大，低層大氣中水汽含量豐富，凝結層深厚，易有霧生成，此為鋒面影響之顯著特性。而本基地因界面影響或迴流甚大時，將有兩次濃霧出現，一在20-24時，另則在4-7時。一日間之逐時變化(二月)，以4-9時出現霧最多，次為18-21時。而出現一哩以下之霧者，以20-24時最多，次為

月份	1	2	3	4	5	6	7	8	9	10	11	12
平均日數哩	12.5	12.4	8.5	12.5	7.2	4.2	2.6	5.4	6.8	6.2	7.1	10.4

附表二：清泉崗基地各月霧日統計表（民國60-66年）

5-8時，多為平流輻射霧，變化萬端，瞬時不見周圍景物。一般晨間5-7時，輻射冷却最烈，促進凝結水汽之高度及厚度相繼增加，使霧生成，為霧最顯著時刻，而後7-9時因朝陽東昇，地面加熱，發生對流作用，乃使地面之空氣層混合，促進蒸發，助長霧之濃度增加，最後因日射過度使霧消失，超過上午11時尚未消散者，情形極少，蓋9-15時無輻射冷却作用，致霧無法生成，唯若鋒面接近本省，竟日霧氣深重，則另當別論。（如附圖六）

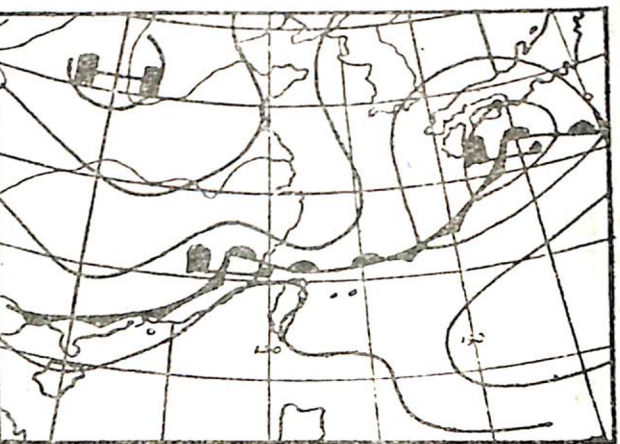


圖六 清泉崗基地每日有霧(&lt; 1哩)出現頻率(民國60-66年)

## (1) 本基地發生霧之性質分析：

(1) 輻射霧：純係受輻射冷却作用，由於輻射而失去熱量，使下層空氣達於飽和，較低空氣產生一溫度逆溫層，此層有阻遏對流，並減少亂流之作用，使空氣滯留冷却而成霧。本基地此種霧出現多在4-7時，能見度不致低於半哩，以3-4月出現最多。其能見度大小取決於前夜雲量、風速大小及地面潮濕程度而定。本基地因土質特殊，此霧佔全霧日僅15%，而此霧屬良好天氣之霧，其上多為碧空，太陽東昇後，略變濃，但隨即被驅散，對飛安影響較輕。

(2) 界面霧：其成因分別為平流、輻射，或為兩者混合而成。每次界面來臨前，因本基地處於暖區，受暖平流影響，霧濃，能見度劣。此時天氣圖（如圖七）為大陸高壓中心位於華北，尚未分裂出海，鋒面停



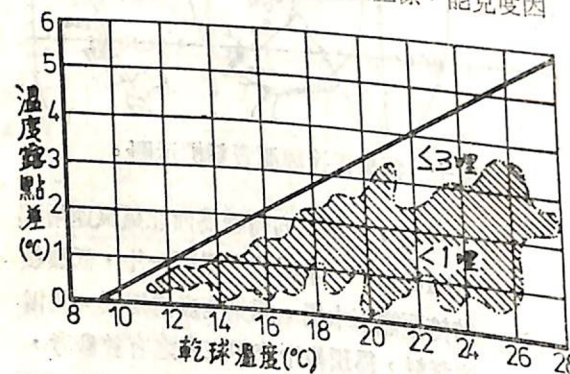
③每天出現霧之時刻正是溫度下降而氣壓較為升壓之時刻，從每日氣壓與溫度之日變化關係圖（如附圖十一）可知每日有兩次為4時及16時，一是太陽將升出時，另為日落時前，都是氣壓正要上升，由此可見氣壓與溫度之變化有莫大之關係。若遇氣壓上升，而溫度有下降之趨勢，可以預測有低雲之平流霧來流之預兆，此法在檢驗每日霧出現頻率時極為準確。

#### 四、清泉崗基地霧之客觀預報法則

如附表三，依霧發生之氣象因子：溫度、露點、風向風速、穩定度，天空狀況等統計分析其相關係性，製作圖表，尋求客觀預報依據，以資參考應用。

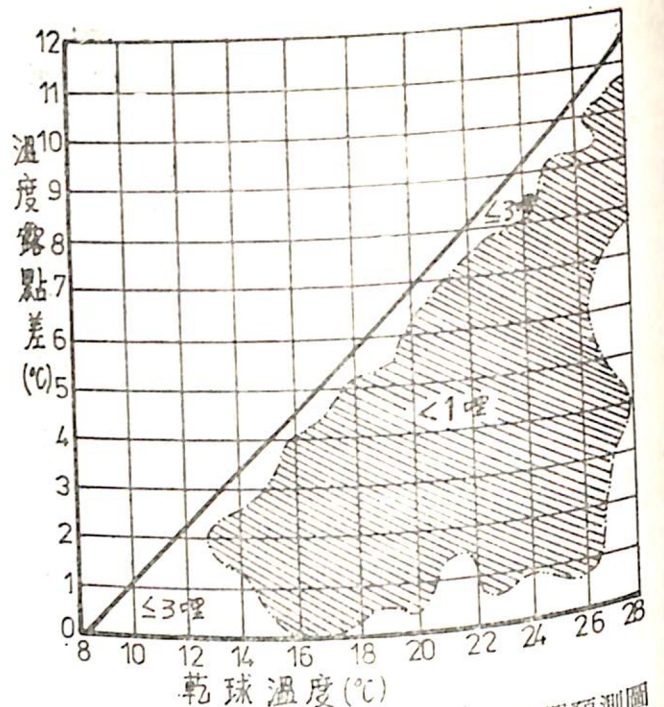
##### (一)泰勒氏霧之客觀預報法：

如圖十二，以每日2000L之地面溫度與露點差作縱座標，乾球溫度作橫座標，能見度因



圖十二 清泉崗基地晨霧之客觀預測圖（民國 60-66 年）。粗實線下方為能見度  $\leq 1$  哩。利用 2000L 資料預測次日之晨霧。

霧而降低至 3 哩以下者為預報有霧區，而一哩以下繪一曲線，供預報晨間霧發生時所影響之能見度。以民國 60-66 年 12-4 月份為依據，從 313 次實作中，落於小於一哩以下之曲線內為 243 次，落於以外區域為 70 次，準確率為 78%。如附圖十三，再以每日 1400L 之溫度露點差作為縱座標，以乾球溫度作為橫座標，以預報 1800-2400L 霧發生之能見度。240 次，落於以外區域為 73 次，準確率 77%。由此可證泰勒氏預報霧之生成極有參考價值。若能與天氣圖、氣壓溫度變化、天空狀況、斜溫圖、高空風情況等配合應用，則預報準確率更形提高。



圖十三 清泉崗基地晚間及晨間霧之客觀預測圖（民國 60-66 年）。利用 1400L 資料預報 1800L-2400L 之霧。

##### (二) $\Delta P/3 \text{ lat}$ 與霧日發生機率之關係：

$\Delta P/3 \text{ lat}$	總次數	霧日數	發生頻率
1-2	45	24	46%
3-4	86	36	41%
5-6	43	14	32%
7-8	31	9	29%
9-10	25	4	16%

如上表，是由 1400L 地面乙圖上，基地指向氣壓較高方向 3 個緯度間之氣壓差 ( $\Delta P/3 \text{ lat}$ ) 與霧日發生之機率。如  $\Delta P$  為 1-2mb，則其發生頻率為 46%。

##### (三) 本基地霧之氣象因子統計分析：

(1) 冷却程度：注意前晚溫度之下降。一般氣溫之下降與天空雲量多寡有關，如日間日射強，終昏後低雲掩蓋本場，次晨平流輻射霧較重，而夜間碧空次晨輻射霧較濃。當寒潮爆發後，寒潮侵襲本省，本場溫度驟降，無凝結條件，因本省處亞熱帶，經統計可知，本場溫度在  $10^{\circ}\text{C}$  以下無霧生成。而後溫度回升，統計前一日 2000L 之溫露點差如在  $2^{\circ}\text{C}$  以內，乾球溫度在  $22^{\circ}\text{--}24^{\circ}\text{C}$  間為次晨低於一哩霧之有利條件。唯須注意，雖有潮濕空氣而無平流輻射冷却作用或非在暖氣流型之下，雖有強

烈之輻射冷却作用，而霧難形成，若有則亦僅淺霧而已。

(2) 風向風速：經統計結果，本基地北來風較利生成濃霧。平流輻射霧之生成多為 320-350 度，風速 6-12 kts 或 130-160 度，風速 4-8 kts，風向如為西南風 200-250 度，風速 6 kts 以上即無霧生成。本場因地勢高，往往低雲成地而霧，低雲與霧之相關性甚大，因之低雲之預報亦應重視。平流與輻射在成霧過程中，實有其相輔相成作用。

低雲生成之原因，不外平流冷却、地形迫舉、渦動混合三者。出現之時刻，以清晨及傍晚為多，於清晨地表輻射冷却，自可增進平流冷却作用，而日間大量受熱，於傍晚地面溫度降低，此時釋出熱量往往超出日間所受的熱量。本場且處於海風與季風合流，有利於海上平流及冷却之低雲來侵，再受地形迫舉及土壤性質較異，渦動層加厚，逆溫層隨之加劇。低雲出現時，所伴同之風向中，北來風 300-360° 次數佔 3/5，南來風 130-180° 佔 1/5，但此南來風為偏於夏半年之颱風及春季之溫帶氣旋所引起。經統計及經驗可知，本基地風向如竟日由西南風控制，當轉為北北西風時，低雲瞬時掩至。本場如低雲滿佈，當吹東北風時，則低雲即逐漸消散。或新竹地區低雲密佈，而本基地吹東或東北風時，則幾無低雲來侵，但當風向轉為北北西風時，則臺灣海峽北部及新竹地區低雲，即移行至本場，若當時低雲高為 600 呎，而本基地海拔 663 呎，故當時之能見度可由 7 哩轉為零哩，當時若有在空飛機，雖導航設備再佳，亦無法勝任，影響飛安至巨。由此可見冬半年中，地形迫舉、渦動混合、平流冷却三者之重要性。

寒潮爆發抵本基地時，風向轉為東北風，風速激增 20-30 kts，溫度驟降，因風速大，霧無法生成，蓋此強風吹去冷却之空氣破壞溫度逆溫層，有阻止成霧之作用。寒潮爆發後，界面漸離本省而高壓中心有兩類型走向，如附圖十四，類型(I)從江蘇移入東海北部 ( $30^{\circ}\text{N}$  以上) 移至日本海或日本南方海面，轉變為暖海變性氣團。



圖十四 寒潮爆發後，高壓中心之移動路徑。

，因溫濕漸增，本基地有濃霧。類型(I)從馬祖附近出海移至東海南部，此高壓中心因緯度較低迴流作用不顯著，致發生一哩以下之霧尚屬少見。本基地南來風，佔全年霧日之第二位，究其原因為本基地南至東南方為一綿亘不絕之稻田，構成和緩開廣斜坡，此時若出現東南風 (130-160°) 風速 4-8 kts，如 67 年 3 月 30 日晨 0642L 從臺中移來，對平流輻射霧之生成，益見有利，當來臨時似雪球一團滾來，掩蓋本基地。同時應注意桃園、新竹兩基地之低雲高度、雲量增減與風速強弱情形，如該兩基地之低雲開始增加，且風速增大，而本基地風向有轉為西北風趨勢，則本基地一小時後即有低雲出現，新竹低雲幕愈低，則本基地能見度愈劣。而高空風情況若桃園低空之風向 (3000 呎以下) 為北至東北風，東港為西南風時，對低雲之來臨更為有利。

##### (3) 逆溫情況：

探空曲線多為上乾下濕，900mb 以下有顯著逆溫存在時更為成霧之徵兆。經統計，有濃霧必有逆溫存在。利用馬公探空資料，低層逆溫平均在 1200-2200 呎為成霧之基本條件。

##### (4) 天空狀況：

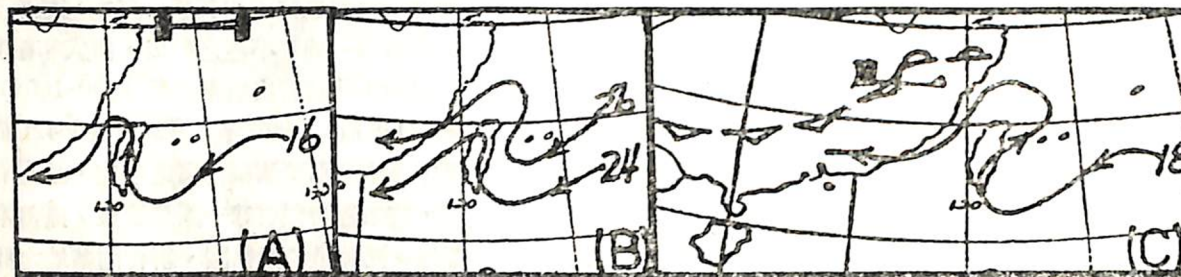
天空狀況	碧空一 疏雲	裂 雲	密 雲
次 數	127	46	140
百分比	40.5%	14.7%	44.8%

附表四：出現一哩以下前之天空狀況

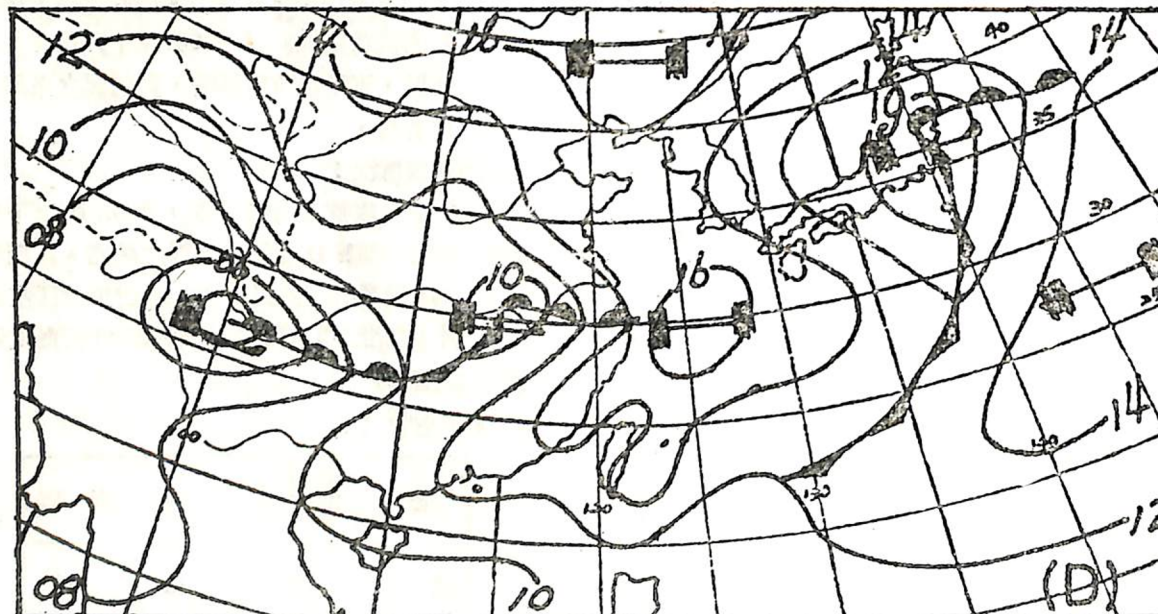
由統計所得：如附表四，最惡劣之能見度出現於雲量較少及密雲之時，前者多係輻射霧形成之情況，而後者多係鋒面低雲所致。

(5)等壓線走向：

地面天氣圖上，等壓線經過本省之走向，對預報霧之生成極具參考價值。茲將1400L地面乙圖之等壓線走向，經統計分述如下：如附圖十五a.b.c，一條等壓線經過臺東附近後北上將迴流之溫濕空氣移入臺灣海峽，成低於一哩之霧，頻率最大。若華南有界面生成，則生成低於一哩之霧頻率尤大。附圖十五d為67年3月29日1400L地面乙圖形式，次日(30日)晨0642L本

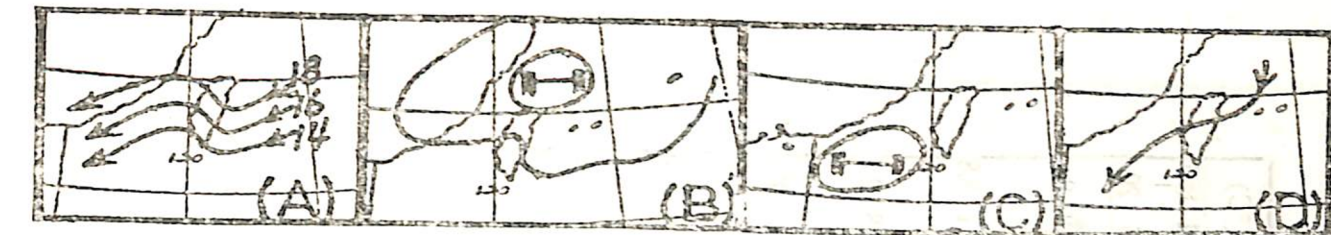


圖十五a.b.c 清泉崗基地 $\leq 1$ 哩霧之等壓線走向。

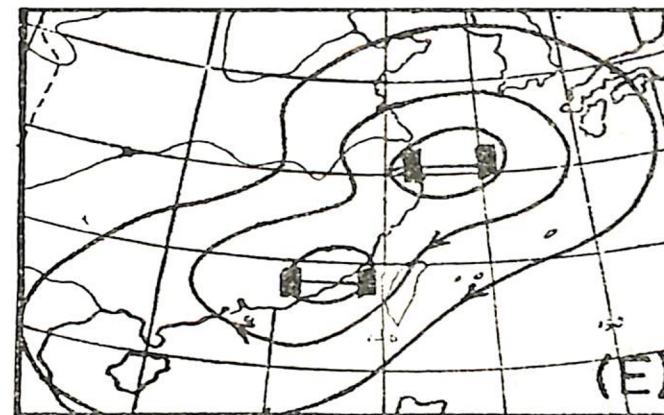


圖十五d 民國67年3月29日1400L地面天氣圖形勢。

基地 $1/4$ 哩霧，風向 $160^\circ$ ，風速6kts，002疏，005密，當時0625L臺中 $1/2$ 哩霧，因此當臺中有霧時，本基地應加注意。如附圖十六a界面過境，氣壓梯度強二條以上等壓線經過本省，則本基地幾無霧生成，因風增大約20kts以上，低雲變為碎雲，雲幕升高，地面能見度益顯清晰良好。如圖b,c高壓中心緯度較低，無迴流作用，最低能見度不致低於 $1\frac{1}{2}$ 哩。圖d等壓線自花蓮或臺東經中央山脈，因無迴流作用且過山後因下坡運動而增溫，相對濕度減少，濃霧難形成。圖e本省處於高壓脊前緣，至次晨處於高壓脊上，則無霧生成。



圖十六a~e 清泉崗基地無霧或 $> 1$ 哩之等壓線走向。



(6)分析圖：

當本省在高壓第三象限時，臺灣西岸普遍有霧，而本基地却偶有例外無霧，反之當其他基地無霧或輕霧時，本基地却為濃霧。由分析圖統計，究其因，大致為桃園、馬公、東港探空10000呎、30000呎、地面之風向有水平輻合現象，且該高度以下風速垂直遞減甚速時，本基地多有霧，反之，如為輻散現象及濕氣層微薄，本基地可能為西海岸唯一無霧者。

(7)茲將各類霧生成時之各項因子統計，如附表五。

## 五、結論

本基地自然地理特殊，且天氣現象變化瞬息萬千，一切理論及經驗統計，當不能全然應用於極準確預報，因天氣時有反常現象無絕對規則可尋，近來學科發展迅速，正是氣象預報充實之良機，如能在工作上細心研究，並對此篇霧之客觀預報，於運用過程中，隨時注意核對分析，同時考慮本基地地形、霧之生成類型、低雲之影響以及整層高空風轉變情況等，則對本基地霧之生成變化必能確實掌握，自然能提高預報之準確性。

霧之類型	佔發生霧之百分率	風向風速	霧之最大濃度	溫度區限	發生霧 $< 1$ 哩前之天空狀況	發生時刻	天氣圖形勢
輻射霧	15%	c/0-350°/4kts	3-4哩	12°C	○-①	晨間	高壓中心：東海，範圍小。
平輻射霧	55%	130°-160°/6kts 臺中移來 320°-350°/6-12kts 新竹移來	4-0哩	10°C ○或④	夜間及晨	高壓中心：東海北部至日本南部海面，本基地在第三象限。	
平流霧	12%	320°-350°/10-18kts 臺灣海峽移來	0哩	10°C ①	任何時刻	高壓中心：華東，本基地在第四象限。	
界面霧	18%	180°轉至340°/10kts	3-4哩	12°C ④	界面來前	界面位於本省北部及大陸東南沿海一帶。	

附表五：清泉崗基地霧生成 $< 1$ 哩之各項因子統計表。

附表一：清泉崙基地發生霧(&lt;1哩)基本因子統計(60-66年12-4月)

月份	霧日	持續時間(hr)	發生時刻(地方時)			T-Td (°C)			風速(kts)			溫度(°C)											
			0	3	5	0	1.1	2.1	3.1	0	0-4	4.1	>10	<8	8.1	12.1	16.1						
12	<1哩	1.1 3 5	>5 1 3 5	20 0 3 5	0 1 3 8	0 1 2 3																	
	次數	10.4	2.8	3.8	2	1.6	5.2	1.8	1.6	2.0	2.8	4.2	2.6	1	0.2	2.6	4.4	3.0	0.6	0	0.2	2.2	8.2
百分比	33.5	26.9	36.5	19.2	16.3	50	17	15.3	19.2	26.9	40.3	25	9	1.9	25	42.3	28.8	5.7	0	1.9	21.1	8.8	
	次數	12.5	4	4.3	1.16	3.16	5.5	2.6	1.8	2.6	2.3	4.6	4.3	1.5	1.6	5.6	3.8	1.5	0	0.83	8.8	3.3	
1	百分比	44.5	32	34.4	9.2	25.3	44	20.8	14.4	20.8	18.4	36.8	34.4	12	12.8	14.4	44.8	30.4	12	0	6.64	70.4	26.4
	次數	12.4	2.6	5.1	1.42	3.14	4	2.7	1.85	3.7	1.42	2.7	4.57	2.4	0.14	1.4	4.7	5.7	0	0	0.85	7.7	3.85
2	百分比	44.2	20.8	40.8	11.3	25	32	21.6	14.8	29.6	11.3	21.6	36.5	19.2	1.1	11.2	37.6	45.6	0	0	6.8	61.6	30.8
	次數	8.5	2.85	3.1	1.42	0.85	2.14	2.57	1.28	2.2	1.7	1.14	4.28	0.85	0.14	1.0	4.1	2.7	0.42	0	0	2.57	5.85
3	百分比	26.4	33.5	36.4	16.7	10	25.1	30.2	15	25.8	20	13.4	50.3	10	1.6	11.7	48.2	31.7	4.9	0	0	30.2	68.8
	次數	12.5	2.6	6.3	1.66	1	2.3	2.8	2.5	3.9	2.0	4.6	3.5	2.5	0	3.2	6	3.1	0.16	0	0.16	2.0	10.1
4	百分比	41.6	20.8	50.4	13.2	8	18.4	22.4	20	31.2	16	36.8	28	20	0	25.6	48	24.8	1.28	0	1.28	16	80.8

附表三：清泉崙基地60-66年元月份各類型霧之氣象因素統計表

日期	1400L 地面			2000L 地面			(3) 天空有霧狀況			(1) 霧期			之			(4) 持續時間			(4) 能見度			霧之類型				
	溫度	露點	(2) 風速	溫度	露點	(2) 風速	溫度	露點	(2) 風速	溫度	露點	(2) 風速	溫度	露點	(2) 風速	溫度	露點	(2) 風速	溫度	露點	(2) 風速	溫度	露點	(2) 風速	溫度	露點
60年1月	15	19	4	340	08	16	14	2	C	0	80①	16	0025-0235L	0210	14	5/8F	平流輻射霧									
	17	21	17	4	02012	16	16	0	C	0	①	17	0542-0843L	0301	14	1/4F										
61年1月	18	23	20	3	330	06	18	17	1	C	0	80①	18	2201-0508L	0707	16	1/4-1/16F	"	"							
	19	20	18	2	330	07	19	18	1	C	0	08②	19	0115-0605L	0450	16	1/16F	"	"							
	3	19	15	4	330	07	18	15	3	030	02	70①	20	0145-0320L, 0715-0814L	0100	18	1/2F	"	"							
	17	21	13	8	35010	13	11	2	030	03	○	18	0201-0235L	0150	12	0 F	1/2-1/16F	"	"							
	18	22	14	8	36008	14	12	2	C	0	○	19	0712-0902L	0034	12	1/2F	1/4 R,F	界面霧								
	20	22	18	4	35010	10	18	16	2	020	02	○	21	0225-0240L	0015	13	0 F	3/4 R,F	界面霧							
	21	24	17	7	35010	17	14	3	020	02	○	22	0401-0444L	0858	15	0-3/4F	"	"								
	28	18	13	5	35013	13	12	1	010	01	①	29	0251-0446L	0155L	14	1/2F	"	"								
	29	22	13	9	34010	16	14	2	350	06	①	29	0635-0934L	0300L	15	0 F	1/2F	"	"							
	30	19	16	3	35006	15	15	0	C	0	①	30	0449L	0132L	15	0 F	0 F	"	"							
	31	0706L,	15	0854L	0706L,	15	0854L	0706L,	0	F	0	①	31	0239L	0239L	15	0 F	0 F	"	"						

(續附表三)

	3	15	6	9	020	06	12	08	4	030	03	80①	4	0723-0853L	0130	12	1/2F	界面霧	
4	20	13	7	360	14	17	13	4	010	06	25①	5	0421-0923L	0502	19	1/4R.F	"	"	
5	19	16	3	010	12	18	16	2	030	11	10①	6	1536-2356L	0820	18	1/2-1/8F	平流輻射霧		
6	22	16	6	340	06	17	14	3	040	08	10①	7	0114-0821L	0707	18	1442-1744L	"	"	
62 年 1 月	15	20	15	5	350	15	16	14	2	010	09	02①	16	0010-0235L	0302	17	0010-0028L	1/16F	平流霧
	16	18	14	4	350	10	15	14	1	020	09	03①	17	1430-1807L	0337	16	1430-1807L	16	平流輻射霧
	17	16	14	2	010	10	14	13	1	350	06	40①	18	1915-2353L	0338	14	1640-1650L	0438	"
	18	17	13	4	030	14	11	09	2	030	07	100①	18	2153-2353L	0111	14	0124-0235L	0111	"
	19	19	13	6	360	08	14	13	1	020	09	○	20	0010-0453L	0200	14	0010-0453L	0200	"
	20	17	15	2	030	03	15	14	1	360	09	○	21	1609-1721L	0343	13	0008-0635L	0627	"
	21	19	15	4	010	12	14	13	1	020	08	○	22	1029-1116L	0047	16	1029-1116L	1/4F	"
	23	21	13	8	200	03	19	15	4	190	02	80①	24	1549-1841L	0252	16	0F	界面霧	
	16	18	15	3	360	10	G18	14	14	1	020	06	40①	17	0601-0735L	0034	14	3/4F	平流輻射霧
	18	16	13	3	020	12	G19	13	11	2	030	11	03①	18-19	2142-0635L	0053	13	1/2F	"
	19	22	15	7	010	12	15	13	2	020	02	○	20	0837-1008L	0145	16	1/2F	"	
	20	21	15	6	010	06	15	12	3	340	05	○	20	1953-2153L	0200	14	1/4F	"	
	22	22	15	7	340	08	15	14	1	320	02	100①	23	0327-0753L	0430	16	3/4F	輻射霧	
	23	22	16	6	010	10	16	15	1	020	09	08①	24	0008-0135L	0443	16	1/2F	平流輻射霧	
	28	24	14	10	310	05	17	14	3	360	08	30①	29	0015-0553L	0538	16	1/16F	"	
	29	21	16	5	350	10	G16	17	13	4	010	06	80①	29-30	2316-0218L	0302	17	1/4F	"

(續附表三)

	6	20	16	4	350	12	G20	17	15	2	350	10	80①	7	0902-1100L	0158	18	1/16F	平流輻射霧
63 年 1 月	13	16	13	3	020	06	14	13	1	C	0	80①	14	0110-0728L	0718	13	1/4F	輻射霧	
	20	17	12	5	010	08	14	13	1	360	08	80①	21	0233-0935L	0702	12	1/4F	"	
	23	19	14	5	330	08	14	12	2	020	02	100①	23-24	2318-0920L	1002	12	1/8F	平流輻射霧	
	25	20	16	4	350	07	G13	16	15	1	010	08	03①	25-26	2042-2400L	0318	15	1/16F	"
	26	15	15	0	020	08	14	14	0	360	07	01①	27	0000-0529L	0529	14	1/4F	"	
	29	18	12	6	270	08	14	13	1	350	04	100①	30	0018-0907L	0849	12	1/8F	"	
	65 年 1 月	2	18	14	4	050	04	16	14	2	C	0	02①	3	0010-0510L	0500	15	1/8R.F	界面霧
	15	17	12	4	010	04	13	12	1	C	0	25①	16	1206-1547L	0342	13	1/4R.F	"	
	66 年 1 月	6	17	12	5	350	09	13	13	0	030	06	45①	7	0810-1135L	0245	13	1/16F	平流輻射霧
	17	15	12	2	010	12	14	14	0	010	07	08①	17	0255-0908L	0603	13	1/4F	"	
														18	0010-0855L	0745	13	1/4F	"

備註 (1)有霧日期：當本場有霧時，能見度達到儀器級飛行時為霧日。

(3)霧發生期前六小時之平均天空狀況。

(2)T-Td溫度露點差。

(4)有霧期間出現之最低溫度。